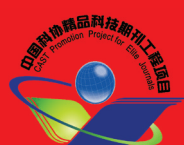


1981 年创刊 物理类、化学类核心期刊

ISSN 1000-0593
CODEN GYGFED



2018 10 月刊

光谱学与光谱分析

GUANGPUXUE YU GUANGPU FENXI

嚴濟慈題

SPECTROSCOPY AND SPECTRAL ANALYSIS

第 38 卷 第 10 期
Vol.38 No.10

主管：中国科学技术协会
主办：中国光学学会
承办：钢铁研究总院
中国科学院物理研究所
北京大学
清华大学



目 次

尖端放电紫外光谱特性仿真分析及验证	庾金涛	房陈岩	李清灵	尹达一(2989)
环状烯烃聚合物基底材料的太赫兹复介电常数和损耗特性研究	巩辰	左剑	张存林(2998)	
太阳光谱辐射计的信号传递与性能表征模型研究				
刘丽莹 郑峰 张国玉 徐毅刚 杨礼艳 吕文华 边泽强 崇伟 李野(3004)				
一种基于差值指数的颗粒物 PM _{2.5} 浓度反演新方法	冯海英	冯仲科	冯海霞(3012)	
基于太赫兹成像技术的小麦麦芽糖定量检测研究	蒋玉英	葛宏义	张元(3017)	
基于 OPO 脉冲激发的血糖光声检测影响因素研究	任重	刘国栋	丁宇 姚清凯(3023)	
高温固相法制备 ZnO : Zn 绿色荧光粉及其在近紫外 LEDs 中的应用研究				
张娜 卓宁泽 程少文 朱月华 王海波(3030)				
显微-反射傅里叶变换红外光谱研究油酸钠与胶磷矿吸附机理	叶军建	张覃 侯波 沈智慧 李先海(3036)		
自然老化谷类种子的二维红外光谱研究	杨卫梅 刘刚 林浩坚 欧全宏 安冉 时有明(3041)			
基于 X 射线剖面密度仪和 FTIR 快速测定两种实木地板材的物理化学性能				
苏明垒 刘苍伟 王玉荣 孙海燕 任海青 吕斌(3048)				
近红外光谱的不同牌号聚乳酸识别方法	朱世超 游剑 晋刚 雷玉 郭雪媚(3053)			
近红外光谱的结球甘蓝可溶性糖含量测定		李鸿强 孙红 李民赞(3058)		
五种染料的远红外光谱	刘海顺 张振伟 杨玉平 吴旭 张存林(3064)			
不同部位矿质元素与红外光谱数据融合对美味牛肝菌产地溯源研究	张钰 李杰庆 李涛 刘鸿高 王元忠(3070)			
不同煤岩成分的焦煤萃取后 FTIR 特征研究	余坤坤 张小东 张硕 杜志刚(3077)			
白-黄色系绿松石“伴生矿”的红外光谱表征及其意义	陈全莉 刘衍宇 金文婧 朱文静(3084)			
红外和 CD 光谱的 HSA 糖基化反应产物结构和反应进程分析	王阿美 涂宗财 王辉 马达(3090)			
近红外光谱 Elastic Net 建模方法与应用		郑年年 栾小丽 刘飞(3096)		
森林地表凋落物含水率红外光谱特性分析	邢键 叶颖慧 马召 彭博 杨柳松 宋文龙(3101)			
FTIR 固定污染源 VOCs 在线监测系统	吕世龙 赵会杰 任利兵 王昕 尉昊贊 李岩(3106)			
基于 L-Cys@ Ag 分析吲哚美辛的表面增强拉曼光谱	罗丹 周光明 张璐涛 张彩虹(3112)			
基于小波包能量熵和 Fisher 判别的油纸绝缘老化拉曼光谱诊断	范舟 陈伟根 万福 邹经鑫 王建新(3117)			
基于 LCEEMD 的低信噪比拉曼光谱自适应去噪方法研究	赵肖宇 贺燕 翟哲 佟亮 蔡立晶 尚廷义(3124)			
同步与三维荧光光谱法研究日落黄和人血清蛋白的相互作用	汤小玉 罗云敬 魏安琪 王妍(3129)			
基于 BP 神经网络的血液荧光光谱识别分类研究				
高斌 赵鹏飞 卢昱欣 范雅 周林华 钱军 刘林娜 赵思言 孔之丰(3136)				
某兽药抗生素废水的荧光水质指纹特征	胡远 柴一荻 刘博 王文霞 汤久凯 付新梅 吴静(3144)			
基于阵列倏逝波荧光传感器的雌二醇免疫检测方法	单迪迪 文晓刚 刘兰华 周小红 何苗 施汉昌(3148)			
以固态法一步合成的荧光碳点为探针测定人体尿液中阿霉素				
郭兴家 张立志 王祚伟 刘文静 刘雪慧 刘清士 郝爱军 李莹(3153)				
低氮胁迫下苦荞根际土壤纤维素酶活性的响应机制：荧光光谱法测定	陈伟 孙从建 李卫红(3159)			
基于温度不敏感源-探测器距离的测量方法的模拟研究	吴明磊 刘蓉 徐可欣(3163)			
机器学习法的干旱区典型农作物分类	黄双燕 杨辽 陈曦 姚远(3169)			
组氨酸、谷胱甘肽混合修饰金纳米团簇的光稳定性研究	周优 谭洪鹏 唐爽 胡振革 梁建功 任国兰(3177)			
基于墨量限制样本的打印机光谱特性化模型修正方法	刘强 黄政 李庆明 彭蕊 苏益静(3182)			
基于氧化石墨烯模拟酶比色法检测汞离子	林茜 陆一松 杨胜园 刘露群 李菲菲 何顺珍(3188)			
纳米 CeO _{2-x} N _x 固溶体的光谱特征对其催化性能影响研究	张国芳 翟亭亭 侯忠辉 许剑轶 武悦 葛启录(3192)			
基于 LED 照明的色差评价研究	梁静 宁思宇 廉玉生 姚步云 孙亮(3199)			
多通道差分吸光度用于颅内血肿快速检测	王金海 刘东远 王慧泉 张彦军 孙秋明 马军(3205)			
不同土壤间的全氮光谱模型传递研究	范萍萍 李雪莹 吕芙蓉 吴宁 刘岩(3210)			
不同高光谱特征参数区分马铃薯品种的优劣势分析	段丁丁 何英彬 罗善军 王卓卓(3215)			
基于分数阶微分算法的大豆冠层氮素含量估测研究	张亚坤 罗斌 潘大宇 宋鹏 路文超 王成 赵春江(3221)			

连续统去除法分析不同马铃薯品种高光谱差异性	罗善军 何英彬 段丁丁 王卓卓 张竞珂 张远涛 朱娅秋 于金宽(3231)
土壤矿物对松嫩平原主要土壤类型反射光谱特征的影响机理	刘焕军 王翔 李厚萱 孟祥添 姜佰文 张新乐 于滋洋(3238)
光谱二阶差分 Gabor 展开法土壤铜铅污染鉴别	付萍杰 杨可明(3245)
类标准化土壤样品 Cd 含量高光谱定量反演	姜晓璐 邹滨 涂宇龙 冯徽徽 陈旭(3254)
应用 XRF 与 ICP-MS 研究陨石样品的元素分布	
李文翠 于湛 付玉吴 优 辛士刚 吕勇 赵震 王莹(3261)	
轻质萃取剂的分散液液微萃取-石墨炉原子吸收光谱法测定生活用水中痕量 Pb 与 Cd	张晗 薛爱芳 陈浩 李胜清(3264)
基于微透镜阵列的积分视场成像光谱仪前置成像系统分析与设计	
刘嘉楠 崔继承 尹禄 孙慈 陈建军 张锐 刘建利(3269)	
染料掺杂液晶激光器的光谱特性研究	李文革 董刚松 刘艳 刘永刚(3273)
Forward Model and Sensitivity Analysis for Limb-Scattered Radiation of Mesospheric OH Radicals Emission in Ultraviolet Band	FANG Xue-jing XIONG Wei SHI Hai-liang LUO Hai-yan CHEN Di-hu (3278)
Study on Standardization of Natural Gas Composition Analysis by Laser Raman Spectroscopy	ZHU Hua-dong ZHOU Li CHANG Hong-gang SUN Xiao-yan (3286)
Laser Induced Breakdown Spectroscopy for Comparative Quantitative Analysis of Betel Leaves from Pakistan	I Rehan K Rehan S Sultana R Muhammad (3295)
Early Nondestructive Detection of Wheat Stripe Rust Using Infrared Thermal Imaging	YAO Zhi-feng HE Dong-jian LEI Yu (3303)
Color Discrimination Based on Hyperspectral Imaging Method	YE Qi WANG Yue-ming ZHOU Shi-yao CHENG Xiao-yu JIA Jian-xin (3310)
Using a Polarization Method to Reduce the Vegetation Inversion Error Caused by Strong or Weak Reflection Intensity	
ZHAO Shou-jiang YANG Bin JIAO Jian-nan YANG Peng WU Tai-xia WANG Xue-qi YAN Lei (3315)	
《光谱学与光谱分析》2019 年征订启事	(2997)
第二十届全国分子光谱学学术会议暨 2018 年光谱年会(第一轮通知)	(3022)
《光谱学与光谱分析》期刊社决定采用 ScholarOne Manuscripts 在线投稿审稿系统	(3095)
《光谱学与光谱分析》投稿简则	(3135)
关于《光谱学与光谱分析》调整审稿费收费标准的通知	(3158)
《光谱学与光谱分析》对来稿英文摘要的要求	(3198)
更正	(3244)
敬告读者——《光谱学与光谱分析》已全文上网	(3253)

**本刊系中国物理类、化学类
核心期刊；中国科协精品科技
期刊；已被国内外 CSCD , SCI ,
Ei , CA , AA , PK , MEDLINE ,
Scopus 等文献机构收录；
中国科技论文统计源期刊；
中国学术期刊文摘统计源期刊**

网址 : <http://www.gpxygpfx.com>

本刊 e-mail : chngpxygpfx@vip.sina.com

修改稿专用邮箱 : gp2008@vip.sina.com

Spectroscopy and Spectral Analysis

(*Guangpuxue Yu Guangpu Fenxi*)

Vol. 38 No. 10

(Monthly)

October 2018

Contents

Research on UV Spectrum of Atmospheric Point Discharge and Simulation Analysis	<i>YU Jin-tao, et al</i> (2989)
Analysis of Complex Dielectric Constant and Loss Properties of Cyclic Olefin Polymer Substrate by Terahertz Time-Domain Spectroscopy	<i>GONG Chen, et al</i> (2998)
Signal Transfer and Characterization Model of Solar Spectroradiometer	<i>LIU Li-ying, et al</i> (3004)
One New Method of PM _{2.5} Concentration Inversion Based on Difference Index	<i>FENG Hai-ying, et al</i> (3012)
Quantitative Determination of Maltose Concentration in Wheat by Using Terahertz Imaging	<i>JIA NG Yu-ying, et al</i> (3017)
Studies on the Influence Factors of the Blood Glucose Photoacoustic Measurement Based on OPO Pulsed Laser Induction	<i>REN Zhong, et al</i> (3023)
Preparation of ZnO : Zn Green Phosphors <i>via</i> Sintering Temperatures with Solid State Reaction and Their Application in Near-UV LEDs	<i>ZHANG Na, et al</i> (3030)
Adsorption of Oleate on Collophane Surface Studied by Microscopic Reflectance Infrared Fourier Transform Spectroscopy	<i>YE Jun-jian, et al</i> (3036)
Discrimination of Grain Seeds of Natural Aging by Two-Dimensional Infrared Spectroscopy	<i>YANG Wei-mei, et al</i> (3041)
Rapid Determination of Physical and Chemical Properties of Two Kinds of Solid Floor Woods with XRD and FTIR Approaches	<i>SUMING-lei, et al</i> (3048)
Discrimination of Different Types of PLA with Near Infrared Spectroscopy	<i>ZHU Shi-chao, et al</i> (3053)
Prediction of Soluble Sugar Content in Cabbage by Near Infrared Spectrometer	<i>LI Hong-qiang, et al</i> (3058)
The Far Infrared Spectra of Five Dyes	<i>LIU Hai-shun, et al</i> (3064)
Discrimination of Geographical Origins of <i>Boletus Edulis</i> Using Data Fusion Combined Mineral Elements with FTIR Spectrum of Different Parts	<i>ZHANG Yu, et al</i> (3070)
The FTIR Characteristics of Extracted Coking Coal in Different Macrolithotype	<i>YU Kun-kun, et al</i> (3077)
A Study on IR Absorption Spectroscopy and XRD Characteristics of White and Yellow Natural Turquoise Associated Minerals	<i>CHEN Quan-li, et al</i> (3084)
Research in Glycated Progress and Products of Human Serum Albumin by Infrared and CD Spectroscopy	<i>WANG A-meい, et al</i> (3090)
Elastic Net Modeling for Near Infrared Spectroscopy	<i>ZHENG Nian-nian, et al</i> (3096)
NIR Spectral Characteristics of Moisture Content for Forest Litter	<i>XING Jian, et al</i> (3101)
The Online Monitoring System of VOCs Emitted by Stationary Pollution Source Based on FTIR	<i>LÜ Shi-long, et al</i> (3106)
Analysis of Indomethacin by Surface Enhanced Raman Spectroscopy Based on L-Cys@ Ag	<i>LUO Dan, et al</i> (3112)
Raman Spectroscopy Diagnosis of Oil-Paper Insulation Ageing Based on Wavelet Packet Energy Entropy and Fisher Discrimination	<i>FAN Zhou, et al</i> (3117)
LCEEMD Adaptive Denosing Method for Raman Spectra with Low SNR	<i>ZHAO Xiao-yu, et al</i> (3124)
Application of Syochronous and Three-Dimensional Fluorescent Spectrometry in Studies on Interaction Between Sunset Yellow and Human Serum Albumin	<i>TANG Xiao-yu, et al</i> (3129)
Study on Recognition and Classificationof Blood Fluorescence Spectrum with BP Neural Network	<i>GAO Bin, et al</i> (3136)
Properties of Fluorescence Aqueous Fingerprint of Veterinary Antibiotic Wastewater	<i>HU Yuan, et al</i> (3144)
Immunoassay of Estradiol by an Array Evanescent Wave Fluorescent Biosensor	<i>SHAN Di-di, et al</i> (3148)

Synthesis of Fluorescent Carbon Dots <i>via</i> One-Step Solid-State Method and Their Application for Determination of Adriamycin in Urea Sample	<i>GUO Xing-jia, et al</i> (3153)
Fluorescence Spectrometric Determination of Cellulase in the rhizosphere of Buckwheat Soil under Low Nitrogen Stress	<i>CHEN Wei, et al</i> (3159)
Simulation Study of Measurement Method Based on Temperature Insensitive Source-Detector Separation	<i>WU Ming-lei, et al</i> (3163)
Study of Typical Arid Crops Classification Based on Machine Learning	<i>HUANG Shuang-yan, et al</i> (3169)
Study on the Photostability of Histidine and Glutathione Modified Gold Nanoclusters	<i>ZHOU You, et al</i> (3177)
Updating a Spectral Printer Characterization Model Based on Ink Limitation Samples	<i>LIU Qiang, et al</i> (3182)
Visual Colorimetric Detection of Hg (II) with Graphene Oxide Peroxidase-Like Activity	<i>LIN Xi, et al</i> (3188)
Research on the Influence of Spectrum Characteristics on the Catalysis Effect of Nanosized CeO _{2-x} N _x Solid Solutions	<i>ZHANG Guo-fang, et al</i> (3192)
Study on Evaluation of Color Difference Based on LED Lighting	<i>LIANG Jing, et al</i> (3199)
Application of Multi-Channel Differential Optical Density on the Fast Determination of the Intracranial Hematomas Degree	<i>WANG Jin-hai, et al</i> (3205)
Vis-NIR Model Transfer of Total Nitrogen Between Different Soils	<i>FA N Ping-ping, et al</i> (3210)
Analysis on the Ability of Distinguishing Potato Varieties with Different Hyperspectral Parameters	<i>DUAN Ding-ding, et al</i> (3215)
Estimation of Canopy Nitrogen Content of Soybean Crops Based on Fractional Differential Algorithm	<i>ZHANG Ya-kun, et al</i> (3221)
Analysis of Hyperspectral Variation of Different Potato Cultivars Based on Continuum Removed Spectra	<i>LUO Shan-jun, et al</i> (3231)
Effect Mechanism of Soil Minerlas on Spectral Charaterisitics of Main Soil Classes in Songnen Plain	<i>LIU Huan-jun, et al</i> (3238)
A Spectroscopic Second-Order Differential Gabor Expansion Method for Copper, Lead Pollution Detection in Soil	<i>FU Ping-jie, et al</i> (3245)
Quantitative Estimation of Cd Concentrations of Type Standard Soil Samples Using Hyperspectral Data	<i>JIANG Xiao-lu, et al</i> (3254)
Study on Element Distribution in Meteorite Samples by XRF and ICP-MS	<i>LI Wen-cui, et al</i> (3261)
Low-Density Solvent Based Dispersive Liquid-Liquid Microextraction Combined with Graphite Furnace Atomic Absorption Spectrometry for the Determination of Trace Lead and Cadmium in Domestic Water	<i>ZHANG Han, et al</i> (3264)
Analysis and Design of Pre-Imaging System of Integral Field Imaging Spectrometer Based on Lenslet Array	<i>LIU Jia-nan, et al</i> (3269)
Study on the Spectrum Characteristics of Dye Doped Liquid Crystal Laser	<i>LI Wen-cui, et al</i> (3273)
Forward Model and Sensitivity Analysis for Limb-Scattered Radiation of Mesospheric OH Radicals Emission in Ultraviolet Band	<i>FA NG Xue-jing, et al</i> (3278)
Study on Standardization of Natural Gas Composition Analysis by Laser Raman Spectroscopy	<i>ZHU Hua-dong, et al</i> (3286)
Laser Induced Breakdown Spectroscopy for Comparative Quantitative Analysis of Betel Leaves from Pakistan	<i>I Rehan, et al</i> (3295)
Early Nondestructive Detection of Wheat Stripe Rust Using Infrared Thermal Imaging	<i>YAO Zhi-feng, et al</i> (3303)
Color Discrimination Based on Hyperspectral Imaging Method	<i>YE Qi, et al</i> (3310)
Using a Polarization Method to Reduce the Vegetation Inversion Error Caused by Strong or Weak Reflection Intensity	<i>ZHAO Shou-jiang, et al</i> (3315)
万方数据.....	